

第五章习题及解答

5.1 真空中直线长电流 I 的磁场中有一等边三角形回路，如题 5.1 图所示，求三角形回路内的磁通。

解 根据安培环路定理，得到长直导线的电流 I 产生的磁场

$$\mathbf{B} = e_{\phi} \frac{\mu_0 I}{2\pi r}$$

穿过三角形回路面积的磁通为

$$\Psi = \int_S \mathbf{B} \cdot d\mathbf{S} = \frac{\mu_0 I}{2\pi} \int_d^{d+\sqrt{3}b/2} \frac{2}{x} \left[\int_0^z dz \right] dx = \frac{\mu_0 I}{\pi} \int_d^{d+\sqrt{3}b/2} \frac{z}{x} dx$$

由题 5.1 图可知， $z = (x-d) \tan \frac{\pi}{6} = \frac{x-d}{\sqrt{3}}$ ，故得到

$$\Psi = \frac{\mu_0 I}{\sqrt{3}\pi} \int_d^{d+\sqrt{3}b/2} \frac{x-d}{x} dx = \frac{\mu_0 I}{\pi} \left[\frac{b}{2} - \frac{d}{\sqrt{3}} \ln\left(1 + \frac{\sqrt{3}b}{2d}\right) \right]$$

题 5.1 图

5.2 通过电流密度为 \mathbf{J} 的均匀电流的长圆柱导体中有一平行的圆柱形空腔，如题 5.2 图所示。计算各部分的磁感应强度 \mathbf{B} ，并证明腔内的磁场是均匀的。

解 将空腔中视为同时存在 \mathbf{J} 和 $-\mathbf{J}$ 的两种电流密度，这样可将原来的电流分布分解为两个均匀的电流分布：一个电流密度为 \mathbf{J} 、均匀分布在半径为 b 的圆柱内，另一个电流密度为 $-\mathbf{J}$ 、均匀分布在半径为 a 的圆柱内。由安培环路定律，分别求出两个均匀分布电流的磁场，然后进行叠加即可得到圆柱内外的磁场。

由安培环路定律 $\oint_C \mathbf{B} \cdot d\mathbf{l} = \mu_0 I$ ，可得到电流密度为 \mathbf{J} 、均匀分布在半径为 b 的圆柱内的电

流产生的磁场为

$$\mathbf{B}_b = \begin{cases} \frac{\mu_0}{2} \mathbf{J} \times \mathbf{r}_b & r_b < b \\ \frac{\mu_0 b^2}{2} \frac{\mathbf{J} \times \mathbf{r}_b}{r_b^2} & r_b > b \end{cases}$$

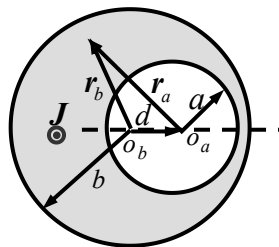
电流密度为 $-\mathbf{J}$ 、均匀分布在半径为 a 的圆柱内的电流产生的磁场为

$$\mathbf{B}_a = \begin{cases} -\frac{\mu_0}{2} \mathbf{J} \times \mathbf{r}_a & r_a < a \\ -\frac{\mu_0 a^2}{2} \frac{\mathbf{J} \times \mathbf{r}_a}{r_a^2} & r_a > a \end{cases}$$

这里 \mathbf{r}_a 和 \mathbf{r}_b 分别是点 o_a 和 o_b 到场点 P 的位置矢量。

将 \mathbf{B}_a 和 \mathbf{B}_b 叠加，可得到空间各区域的磁场为

$$\text{圆柱外: } \mathbf{B} = \frac{\mu_0}{2} \mathbf{J} \times \left(\frac{b^2}{r_b^2} \mathbf{r}_b - \frac{a^2}{r_a^2} \mathbf{r}_a \right) \quad (r_b > b)$$



题 5.2 图

$$\text{圆柱内的空腔外: } \mathbf{B} = \frac{\mu_0}{2} \mathbf{J} \times \left(\mathbf{r}_b - \frac{a^2}{r_a^2} \mathbf{r}_a \right) \quad (r_b < b, r_a > a)$$

$$\text{空腔内: } \mathbf{B} = \frac{\mu_0}{2} \mathbf{J} \times (\mathbf{r}_b - \mathbf{r}_a) = \frac{\mu_0}{2} \mathbf{J} \times \mathbf{d} \quad (r_a < a)$$

式中 \mathbf{d} 是点和 o_b 到点 o_a 的位置矢量。由此可见，空腔内的磁场是均匀的。

5.3 下面的矢量函数中哪些可能是磁场？如果是，求其源变量 \mathbf{J} 。

(1) $\mathbf{H} = \mathbf{e}_r ar$, $\mathbf{B} = \mu_0 \mathbf{H}$ (圆柱坐标)

(2) $\mathbf{H} = \mathbf{e}_x(-ay) + \mathbf{e}_y ax$, $\mathbf{B} = \mu_0 \mathbf{H}$

(3) $\mathbf{H} = \mathbf{e}_x ax - \mathbf{e}_y ay$, $\mathbf{B} = \mu_0 \mathbf{H}$

(4) $\mathbf{H} = \mathbf{e}_\phi ar$, $\mathbf{B} = \mu_0 \mathbf{H}$ (球坐标系)

解 根据恒定磁场的基本性质，满足 $\nabla \cdot \mathbf{B} = 0$ 的矢量函数才可能是磁场的场矢量，否则，不是磁场的场矢量。若是磁场的场矢量，则可由 $\mathbf{J} = \nabla \times \mathbf{H}$ 求出源分布。

(1) 在圆柱坐标中 $\nabla \cdot \mathbf{B} = \frac{1}{r} \frac{\partial}{\partial r}(rB_r) = \frac{1}{r} \frac{\partial}{\partial r}(ar^2) = 2a \neq 0$

该矢量不是磁场的场矢量。

(2) $\nabla \cdot \mathbf{B} = \frac{\partial}{\partial x}(-ay) + \frac{\partial}{\partial y}(ax) = 0$

该矢量是磁场的场矢量，其源分布为 $\mathbf{J} = \nabla \times \mathbf{H} = \begin{vmatrix} \mathbf{e}_x & \mathbf{e}_y & \mathbf{e}_z \\ \frac{\partial}{\partial x} & \frac{\partial}{\partial y} & \frac{\partial}{\partial z} \\ -ay & ax & 0 \end{vmatrix} = \mathbf{e}_z 2a$

(3) $\nabla \cdot \mathbf{B} = \frac{\partial}{\partial x}(ax) + \frac{\partial}{\partial y}(-ay) = 0$

该矢量是磁场的场矢量，其源分布为 $\mathbf{J} = \nabla \times \mathbf{H} = \begin{vmatrix} \mathbf{e}_x & \mathbf{e}_y & \mathbf{e}_z \\ \frac{\partial}{\partial x} & \frac{\partial}{\partial y} & \frac{\partial}{\partial z} \\ ax & -ay & 0 \end{vmatrix} = 0$

(4) 在球坐标系中 $\nabla \cdot \mathbf{B} = \frac{1}{r \sin \theta} \frac{\partial B_\phi}{\partial \phi} = \frac{1}{r \sin \theta} \frac{\partial}{\partial \phi}(ar) = 0$

该矢量是磁场的场矢量，其源分布为

$$\mathbf{J} = \nabla \times \mathbf{H} = \frac{1}{r^2 \sin \theta} \begin{vmatrix} \mathbf{e}_r & r\mathbf{e}_\theta & r \sin \theta \mathbf{e}_\phi \\ \frac{\partial}{\partial r} & \frac{\partial}{\partial \theta} & \frac{\partial}{\partial \phi} \\ 0 & 0 & ar^2 \sin \theta \end{vmatrix} = \mathbf{e}_r a \cot \theta - \mathbf{e}_\theta 2a$$

5.4 由矢量位的表示式 $\mathbf{A}(\mathbf{r}) = \frac{\mu}{4\pi} \int_{\tau} \frac{\mathbf{J}(\mathbf{r}')}{R} d\tau'$ 证明磁感应强度的积分公式

$$\mathbf{B}(\mathbf{r}) = \frac{\mu_0}{4\pi} \int_{\tau} \frac{\mathbf{J}(\mathbf{r}') \times \mathbf{R}}{R^3} d\tau'$$

并证明 $\nabla \cdot \mathbf{B} = 0$

$$\begin{aligned} \text{解: } \mathbf{B}(\mathbf{r}) &= \nabla \times \mathbf{A}(\mathbf{r}) = \nabla \times \frac{\mu_0}{4\pi} \int_{\tau} \frac{\mathbf{J}(\mathbf{r}')}{R} d\tau' = \frac{\mu_0}{4\pi} \int_{\tau} \nabla \times \frac{\mathbf{J}(\mathbf{r}')}{R} d\tau' = -\frac{\mu_0}{4\pi} \int_{\tau} \mathbf{J}(\mathbf{r}') \times \nabla \left(\frac{1}{R} \right) d\tau' = \\ &= -\frac{\mu_0}{4\pi} \int_{\tau} \mathbf{J}(\mathbf{r}') \times \left(-\frac{\mathbf{R}}{R^3} \right) d\tau' = \frac{\mu_0}{4\pi} \int_{\tau} \frac{\mathbf{J}(\mathbf{r}') \times \mathbf{R}}{R^3} d\tau' \\ \nabla \cdot \mathbf{B} &= \nabla \cdot [\nabla \times \mathbf{A}(\mathbf{r})] = 0 \end{aligned}$$

5.5 有一电流分布 $\mathbf{J}(\mathbf{r}) = \mathbf{e}_z r J_0 (r \leq a)$, 求矢量位 $\mathbf{A}(\mathbf{r})$ 和磁感应强度 $\mathbf{B}(\mathbf{r})$ 。

解 由于电流只有 \mathbf{e}_z 分量, 且仅为 r 的函数, 故 $\mathbf{A}(\mathbf{r})$ 也只有 \mathbf{e}_z 分量, 且仅为 r 的函数, 即 $\mathbf{A}(\mathbf{r}) = \mathbf{e}_z A_z(r)$ 。在圆柱坐标系中, 由 $A_z(r)$ 满足的一维微分方程和边界条件, 即可求解出 $\mathbf{A}(\mathbf{r})$, 然后由 $\mathbf{B}(\mathbf{r}) = \nabla \times \mathbf{A}(\mathbf{r})$ 可求出 $\mathbf{B}(\mathbf{r})$ 。

记 $r \leq a$ 和 $r \geq a$ 的矢量位分别为 $A_1(r)$ 和 $A_2(r)$ 。由于在 $r \geq a$ 时电流为零, 所以

$$\begin{aligned} \nabla^2 A_{z1}(r) &= \frac{1}{r} \frac{\partial}{\partial r} \left(r \frac{\partial A_{z1}}{\partial r} \right) = -\mu_0 J_0 r & (r \leq a) \\ \nabla^2 A_{z2}(r) &= \frac{1}{r} \frac{\partial}{\partial r} \left(r \frac{\partial A_{z2}}{\partial r} \right) = 0 & (r \geq a) \end{aligned}$$

由此可解得

$$A_{z1}(r) = -\frac{1}{9} \mu_0 J_0 r^3 + C_1 \ln r + D_1$$

$$A_{z2}(r) = C_2 \ln r + D_2$$

$A_{z1}(r)$ 和 $A_{z2}(r)$ 满足的边界条件为

① $r \rightarrow 0$ 时, $A_{z1}(r)$ 为有限值

$$\text{② } r = a \text{ 时, } A_{z1}(a) = A_{z2}(a), \quad \left. \frac{\partial A_{z1}}{\partial r} \right|_{r=a} = \left. \frac{\partial A_{z2}}{\partial r} \right|_{r=a}$$

$$\text{由条件①、②, 有 } C_1 = 0, \quad -\frac{1}{9} \mu_0 J_0 a^3 = C_2 \ln a + D_2, \quad -\frac{1}{3} \mu_0 J_0 a^2 = C_2 \frac{1}{a}$$

$$\text{由此可解得 } C_2 = -\frac{1}{3} \mu_0 J_0 a^3, \quad D_2 = -\frac{1}{3} \mu_0 J_0 a^3 \left(\frac{1}{3} - \ln a \right)$$

故

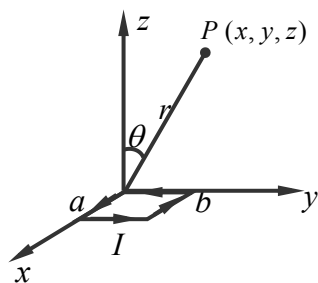
$$A_{z1}(r) = -\frac{1}{9} \mu_0 J_0 r^3 + D_1 \quad (r \leq a)$$

$$A_{z2}(r) = -\frac{1}{3} \mu_0 J_0 a^3 \ln r - \frac{1}{3} \mu_0 J_0 a^3 \left(\frac{1}{3} - \ln a \right)$$

($r \geq a$)

式中常数 D_1 由参考点确定, 若令 $r = 0$ 时, $A_{z1}(r) = 0$, 则有 $D_1 = 0$ 。

空间的磁感应强度为



题 5.6 图

$$\mathbf{B}_1(\mathbf{r}) = \nabla \times \mathbf{A}_1(\mathbf{r}) = \mathbf{e}_\phi \frac{1}{3} \mu_0 J_0 r^2 \quad (r < a)$$

$$\mathbf{B}_2(\mathbf{r}) = \nabla \times \mathbf{A}_2(\mathbf{r}) = \mathbf{e}_\phi \frac{\mu_0 J_0 a^3}{3r} \quad (r > a)$$

5.6 如题 5.6 图所示, 边长分别为 a 和 b 、载有电流 I 的小矩形回路。

(1) 求远处的任一点 $P(x, y, z)$ 的矢量位 $\mathbf{A}(\mathbf{r})$, 并证明它可以写成 $\mathbf{A}(\mathbf{r}) = \frac{\mu_0 \mathbf{p}_m \times \mathbf{r}}{4\pi r^3}$ 。其

中 $\mathbf{p}_m = \mathbf{e}_z Iab$;

(2) 由 \mathbf{A} 求磁感应强度 \mathbf{B} , 并证明 \mathbf{B} 可以写成

$$\mathbf{B} = -\frac{\mu_0 I}{4\pi} \nabla(d\Omega) \quad \text{式中 } d\Omega = \frac{ab \mathbf{e}_z \cdot \mathbf{e}_r}{r^2} \text{ 场点对小电流回路所张的立体角。}$$

解 (1) 电流回路的矢量位为
$$\mathbf{A}(\mathbf{r}) = \frac{\mu_0 I}{4\pi} \oint_C \frac{1}{R} d\mathbf{l}'$$

式中: $R = [(x-x')^2 + (y-y')^2 + z^2]^{1/2} = [r^2 - 2r \sin \theta (x' \cos \phi + y' \sin \phi) + x'^2 + y'^2]^{1/2}$

根据矢量积分公式 $\oint_C \Psi d\mathbf{l} = \int_S d\mathbf{S} \times \nabla \Psi$, 有 $\oint_C \frac{1}{R} d\mathbf{l}' = \int_S d\mathbf{S}' \times \nabla' \left(\frac{1}{R} \right)$

而
$$\nabla' \left(\frac{1}{R} \right) = -\nabla \left(\frac{1}{R} \right)$$

所以
$$\mathbf{A}(\mathbf{r}) = -\frac{\mu_0 I}{4\pi} \int_S d\mathbf{S}' \times \nabla \left(\frac{1}{R} \right)$$

对于远区场, $r \gg x', r \gg y'$, 所以 $R \approx r$, 故

$$\begin{aligned} \mathbf{A}(\mathbf{r}) &= -\frac{\mu_0 I}{4\pi} \int_S d\mathbf{S}' \times \nabla \left(\frac{1}{r} \right) = -\frac{\mu_0}{4\pi} [I \int_S d\mathbf{S}'] \times \nabla \left(\frac{1}{r} \right) = -\frac{\mu_0}{4\pi} (\mathbf{e}_z Iab) \times \nabla \left(\frac{1}{r} \right) = \\ &= -\frac{\mu_0}{4\pi} \mathbf{p}_m \times \left(-\frac{\mathbf{r}}{r^3} \right) = \frac{\mu_0 \mathbf{p}_m \times \mathbf{r}}{4\pi r^3} \end{aligned}$$

(2) 由于
$$\mathbf{A}(\mathbf{r}) = -\frac{\mu_0}{4\pi} p_m \mathbf{e}_z \times \left(-\frac{\mathbf{r}}{r^3} \right) = \mathbf{e}_\phi \frac{\mu_0 p_m}{4\pi} \frac{\sin \theta}{r^2}$$

故
$$\mathbf{B} = \nabla \times \mathbf{A} = \mathbf{e}_r \frac{1}{r \sin \theta} \frac{\partial}{\partial \theta} (\sin \theta A_\phi) - \mathbf{e}_\theta \frac{1}{r} \frac{\partial}{\partial r} (r A_\phi) = \frac{\mu_0 p_m}{4\pi r^3} (\mathbf{e}_r 2 \cos \theta + \mathbf{e}_\theta \sin \theta)$$

又由于
$$\mathbf{e}_r 2 \cos \theta + \mathbf{e}_\theta \sin \theta = -r^3 \nabla \left(\frac{\cos \theta}{r^2} \right) = -r^3 \nabla \left(\frac{\mathbf{e}_z \cdot \mathbf{e}_r}{r^2} \right)$$

故
$$\mathbf{B} = -\frac{\mu_0 p_m}{4\pi} \nabla \left(\frac{\mathbf{e}_z \cdot \mathbf{e}_r}{r^2} \right) = -\frac{\mu_0 I}{4\pi} \nabla \left(\frac{ab \mathbf{e}_z \cdot \mathbf{e}_r}{r^2} \right) = -\frac{\mu_0 I}{4\pi} \nabla(d\Omega)$$

5.7 半径为 a 磁介质球, 具有磁化强度为

$$\mathbf{M} = \mathbf{e}_z (Az^2 + B)$$

其中 A 和 B 为常数, 求磁化电流和等效磁荷。

解 磁介质球内的磁化电流体密度为
$$\mathbf{J}_m = \nabla \times \mathbf{M} = -\mathbf{e}_z \times \nabla (Az^2 + B) = -\mathbf{e}_z \times \mathbf{e}_z 2Az = 0$$

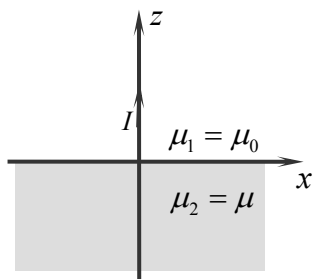
等效磁荷体密度为 $\rho_m = -\nabla \cdot \mathbf{M} = -\frac{\partial}{\partial z}(Az^2 + B) = -2Az$

磁介质球表面的磁化电流面密度为

$$\mathbf{J}_{mS} = \mathbf{M} \times \mathbf{n} \Big|_{r=a} = \mathbf{e}_z \times \mathbf{e}_r (Aa^2 \cos^2 \theta + B) = \mathbf{e}_\phi (Aa^2 \cos^2 \theta + B) \sin \theta$$

等效磁荷面密度为

$$\sigma_m = \mathbf{n} \cdot \mathbf{M} \Big|_{r=a} = \mathbf{e}_r \cdot \mathbf{e}_z (Aa^2 \cos^2 \theta + B) = (Aa^2 \cos^2 \theta + B) \cos \theta$$



题 5.8 图

5.8 如题 5.8 所示图, 无限长直线电流 I 垂直于磁导率分别为 μ_1 和 μ_2 的两种磁介质的分界面, 试求: (1) 两种磁介质中的磁感应强度 \mathbf{B}_1 和 \mathbf{B}_2 ; (2) 磁化电流分布。

解 (1) 由安培环路定理, 可得 $\mathbf{H} = \mathbf{e}_\phi \frac{I}{2\pi r}$

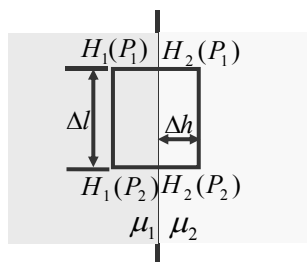
所以得到

$$\mathbf{B}_1 = \mu_0 \mathbf{H} = \mathbf{e}_\phi \frac{\mu_0 I}{2\pi r}$$

$$\mathbf{B}_2 = \mu \mathbf{H} = \mathbf{e}_\phi \frac{\mu I}{2\pi r}$$

$$(2) \text{ 磁介质中的磁化强度 } \mathbf{M} = \frac{1}{\mu_0} \mathbf{B}_2 - \mathbf{H} = \mathbf{e}_\phi \frac{(\mu - \mu_0)I}{2\pi \mu_0 r}$$

$$\text{则磁化电流面密度 } \mathbf{J}_m = \nabla \times \mathbf{M} = \mathbf{e}_z \frac{1}{r} \frac{d}{dr} (r M_\phi) = \mathbf{e}_z \frac{(\mu - \mu_0)I}{2\pi \mu_0} \frac{1}{r} \frac{d}{dr} (r \cdot \frac{1}{r}) = 0$$



题 5.9 图

在 $r=0$ 处, \mathbf{B}_2 具有奇异性, 所以在磁介质中 $r=0$ 处存在磁化线电流 I_m 。以 z 轴为中心、 r 为半径作一个圆形回路 C , 由安培环路定理,

$$\text{有 } I + I_m = \frac{1}{\mu_0} \oint_C \mathbf{B} \cdot d\mathbf{l} = \frac{\mu I}{\mu_0}$$

$$\text{故得到 } I_m = \left(\frac{\mu}{\mu_0} - 1 \right) I$$

在磁介质的表面上, 磁化电流面密度为

$$\mathbf{J}_{mS} = \mathbf{M} \times \mathbf{e}_z \Big|_{z=0} = \mathbf{e}_r \frac{(\mu - \mu_0)I}{2\pi \mu_0 r}$$

5.9 已知一个平面电流回路在真空中产生的磁场强度为 \mathbf{H}_0 , 若此平面电流回路位于磁导率分别为 μ_1 和 μ_2 的两种均匀磁介质的分界平面上, 试求两种磁介质中的磁场强度 \mathbf{H}_1 和 \mathbf{H}_2 。

解 由于是平面电流回路, 当其位于两种均匀磁介质的分界平面上时, 分界面上的磁场只有法向分量, 根据边界条件, 有 $\mathbf{B}_1 = \mathbf{B}_2 = \mathbf{B}$ 。在分界面两侧作一个小矩形回路, 分别就真空和存在介质两种不同情况, 应用安培环路定律即可导出 \mathbf{H}_1 、 \mathbf{H}_2 与 \mathbf{H}_0 的关系。

在分界面两侧, 作一个尺寸为 $2\Delta h \times \Delta l$ 的小矩形回路, 如题 5.9 图所示。根据安培环路定律,

$$\oint_C \mathbf{H} \cdot d\mathbf{l} = H_1(P_1)\Delta h + H_2(P_1)\Delta h - H_1(P_2)\Delta h - H_2(P_2)\Delta h = I \quad (1)$$

因 \mathbf{H} 垂直于分界面，所以积分式中 $\mathbf{H} \cdot d\mathbf{l} = 0$ 。这里 I 为与小矩形回路交链的电流。

对平面电流回路两侧为真空的情况，则有

$$\oint_C \mathbf{H}_0 \cdot d\mathbf{l} = 2H_0(P_1)\Delta h - 2H_0(P_2)\Delta h = I \quad (2)$$

由于 P_1 和 P_2 是分界面上任意两点，由式 (1) 和 (2) 可得到 $\mathbf{H}_1 + \mathbf{H}_2 = 2\mathbf{H}_0$

$$\text{即} \quad \frac{\mathbf{B}}{\mu_1} + \frac{\mathbf{B}}{\mu_2} = 2\mathbf{H}_0$$

$$\text{于是得到} \quad \mathbf{B} = \frac{2\mu_1\mu_2}{\mu_1 + \mu_2} \mathbf{H}_0$$

$$\text{故有} \quad \mathbf{H}_1 = \frac{\mathbf{B}}{\mu_1} = \frac{2\mu_2}{\mu_1 + \mu_2} \mathbf{H}_0 \quad \mathbf{H}_2 = \frac{\mathbf{B}}{\mu_2} = \frac{2\mu_1}{\mu_1 + \mu_2} \mathbf{H}_0$$

5.10 证明：在不同介质分界面上矢量位 \mathbf{A} 的切向分量是连续的。

$$\text{解} \quad \text{由 } \mathbf{B} = \nabla \times \mathbf{A} \text{ 得} \quad \int_S \mathbf{B} \cdot d\mathbf{S} = \int_S \nabla \times \mathbf{A} \cdot d\mathbf{S} = \oint_C \mathbf{A} \cdot d\mathbf{l} \quad (1)$$

在媒质分界面上任取一点 P ，围绕点 P 任作一个跨越分界面的狭小矩形回路 C ，其长为 Δl 、宽为 Δh ，如题 5.10 图所示。将式 (1) 应用于回路 C 上，并令 Δh 趋于零，得到

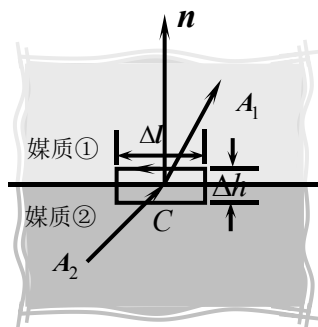
$$\oint_C \mathbf{A} \cdot d\mathbf{l} = A_1 \cdot \Delta l - A_2 \cdot \Delta l = \lim_{\Delta h \rightarrow 0} \int_S \mathbf{B} \cdot d\mathbf{S}$$

由于 \mathbf{B} 为有限值，上式右端等于零，所以

$$A_1 \cdot \Delta l - A_2 \cdot \Delta l = 0$$

由于矢量 Δl 平行于分界面，故有

$$A_{1t} = A_{2t}$$



题 5.10 图

5.11 一根极细的圆铁杆和一个很薄的圆铁盘样品放在磁场

\mathbf{B}_0 中，并使它们的轴与 \mathbf{B}_0 平行，(铁的磁导率为 μ)。求两样品内的 \mathbf{B} 和 \mathbf{H} ；若已知 $B_0 = 1\text{T}$ 、 $\mu = 5000\mu_0$ ，求两样品内的磁化强度 M 。

解 对于极细的圆铁杆样品，根据边界条件 $H_{1t} = H_{2t}$ ，有

$$\mathbf{H} = \mathbf{H}_0 = \mathbf{B}_0 / \mu_0$$

$$\mathbf{B} = \mu \mathbf{H} = \frac{\mu}{\mu_0} \mathbf{B}_0$$

$$M = \frac{\mathbf{B}}{\mu_0} - \mathbf{H} = \frac{1}{\mu_0} \left(\frac{\mu}{\mu_0} - 1 \right) \mathbf{B}_0 = \frac{4999}{\mu_0} \mathbf{B}_0$$

对于很薄的圆铁盘样品，根据边界条件 $B_{1n} = B_{2n}$ ，有

$$\mathbf{B} = \mathbf{B}_0$$

$$\mathbf{H} = \mathbf{B} / \mu = \mathbf{B}_0 / \mu$$

$$M = \frac{B}{\mu_0} - H = \left(\frac{1}{\mu_0} - \frac{1}{\mu} \right) B_0 = \frac{4999}{5000\mu_0}$$

5.12 如题 5.12 图所示, 一环形螺线管的平均半径 $r_0 = 15 \text{ cm}$, 其圆形截面的半径 $a = 2 \text{ cm}$, 铁芯的相对磁导率 $\mu_r = 1400$, 环上绕 $N = 1000$ 匝线圈, 通过电流 $I = 0.7 \text{ A}$ 。

(1) 计算螺旋管的电感;

(2) 在铁芯上开一个 $l_0 = 0.1 \text{ cm}$ 的空气隙, 再计算电感。(假设开口后铁芯的 μ_r 不变)

(3) 求空气隙和铁芯内的磁场能量的比值。

解 (1) 由于 $a \ll r_0$, 可认为圆形截面上的磁场是均匀的, 且等于截面的中心处的磁场。

由安培环路定律, 可得螺旋管内的磁场为 $H = \frac{NI}{2\pi r_0}$

与螺线管较链的磁链为 $\Psi = NS\mu H = \frac{\mu a^2 N^2 I}{2r_0}$

故螺线管的电感为

$$L = \frac{\Psi}{I} = \frac{\mu a^2 N^2}{2r_0} = \frac{1400 \times 4\pi \times 10^{-7} \times 0.02^2 \times 1000^2}{2 \times 0.15} = 2.346 \text{ H}$$

(2) 当铁芯上开有小空气隙时, 由于可隙很小, 可忽略边缘效应, 则在空气隙与铁芯的分界面上, 磁场只有法向分量。根据边界条件, 有 $B_0 = B_\mu = B$, 但空气隙中的磁场强度 H_0 与铁芯中的磁场强度 H_μ 不同。根据安培环路定律, 有

$$H_0 l_0 + H_\mu (2\pi r_0 - l_0) = NI$$

又由于 $B_0 = \mu_0 H_0$ 、 $B_\mu = \mu_0 \mu_r H_\mu$ 及 $B_0 = B_\mu = B$, 于是可得 $B = \frac{\mu_0 \mu_r NI}{\mu_r l_0 + (2\pi r_0 - l_0)}$

所以螺线管得磁链为 $\Psi = NSB = \frac{\pi \mu_0 \mu_r a^2 N^2 I}{\mu_r l_0 + (2\pi r_0 - l_0)}$

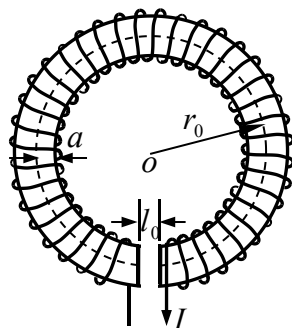
故螺线管得电感为

$$L = \frac{\Psi}{I} = \frac{\pi \mu_0 \mu_r a^2 N^2}{\mu_r l_0 + (2\pi r_0 - l_0)} = \frac{4\pi^2 \times 10^{-7} \times 1400 \times 0.02^2 \times 1000^2}{1400 \times 0.001 + 2 \times \pi \times 0.15 - 0.001} = 0.944 \text{ H}$$

(3) 空气隙中的磁场能量为 $W_{m0} = \frac{1}{2} \mu_0 H_0^2 S l_0$

铁芯中的磁场能量为 $W_{m\mu} = \frac{1}{2} \mu_0 \mu_r H_\mu^2 S (2\pi r_0 - l_0)$

故 $\frac{W_{m0}}{W_{m\mu}} = \frac{\mu_r l_0}{2\pi r_0 - l_0} = \frac{1400 \times 0.001}{2\pi \times 0.15 - 0.001} = 1.487$



题 5.12 图

5.13 证明: 单匝线圈励磁下磁路的自感量为 $L_0 = 1/R_m$, R_m 为磁路的磁阻, 故 NI 激励下,

电感量为 $L = N^2/R_m$ 。磁路中单匝激励下的磁场储能 $W_{m0} = R_m \Phi_0^2/2$, 则 NI 激励下的 $W_m = N^2 W_{m0}$ 。

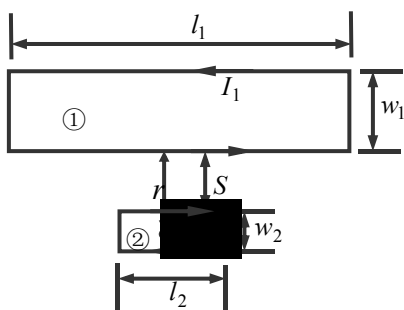
解 在单匝线圈励磁下, 设线圈中的电流为 I , 有 $\Phi_0 = L_0 I = \frac{I}{R_m}$ 。则在 NI 激励下, 磁路的

的磁通为
$$\Psi = N^2 \Phi_0 = \frac{N^2 I}{R_m}$$

故电感量为
$$L = \frac{\Psi}{I} = \frac{N^2}{R_m}$$

在单匝线圈励磁下, $W_{m0} = \frac{1}{2} L_0 I^2 = \frac{I^2}{2 R_m} = \frac{R_m}{2} \Phi_0^2$ 。在 NI 激励下, 磁路的磁能为

$$W_m = \frac{1}{2} L I^2 = \frac{N^2 I^2}{2 R_m} = \frac{N^2 R_m}{2} \Phi_0^2 = N^2 W_{m0}$$



题 5.14 图

5.14 如题 5.14 图所示, 两个长的矩形线圈, 放置在同一平面上, 长度分别为 l_1 和 l_2 , 宽度分别为 w_1 和 w_2 , 两线圈最近的边相距为 S , 两线圈中分别载有电流 I_1 和 I_2 。设 $l_1 \gg l_2$, 且两线圈都只有一匝, 略去端部效应。证明: 两线圈的互感是

$$M = \frac{\mu_0 l_2}{2\pi} \ln \frac{(S + w_1)(S + w_2)}{S(S + w_1 + w_2)}$$

解 由于 $l_1 \gg l_2$, 因此可近似认为线圈①中的电流在线圈②的回路中产生的磁场与两根无限长的平行直线电流产生的磁场相同。线圈①中的电流 I_1 在线圈②的回路中产生的

磁场为

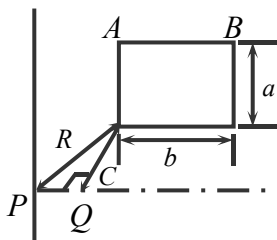
$$B_{12} = \frac{\mu_0 I_1}{2\pi} \left(\frac{1}{r} - \frac{1}{r + w_1} \right)$$

与线圈②交链的磁通 Ψ_{12} 为

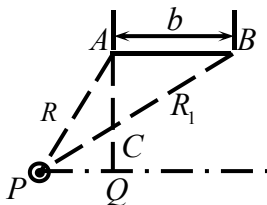
$$\begin{aligned} \Psi_{12} &= \frac{\mu_0 I_1}{2\pi} \int_S^{S+w_2} \left(\frac{1}{r} - \frac{1}{r+w_1} \right) l_2 dr = \frac{\mu_0 I_1 l_2}{2\pi} \left[\ln \frac{S+w_2}{S} - \ln \frac{S+w_1+w_2}{S+w_1} \right] = \\ &= \frac{\mu_0 I_1 l_2}{2\pi} \ln \frac{(S+w_1)(S+w_2)}{S(S+w_1+w_2)} \end{aligned}$$

故两线圈间的互感为
$$M = \frac{\Psi_{12}}{I_1} = \frac{\mu_0 l_2}{2\pi} \ln \frac{(S+w_1)(S+w_2)}{S(S+w_1+w_2)}$$

5.15 长直导线附近有一矩形回路, 回路与导线不共面, 如题 5.15 图(a)所示。证明: 直导线与矩形回路间的互感是



题 5.15 图(a)



题 5.15 图(b)

解 设长直导线中的电流为 I ，则其产生的磁场为 $B = \frac{\mu_0 I}{2\pi r}$

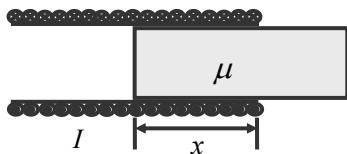
由题 5.15 图 (b) 可知，与矩形回路交链的磁通 Ψ 为

$$\Psi = \frac{\mu_0 I}{2\pi} \int_S \mathbf{B} \cdot d\mathbf{S} = \frac{\mu_0 a I}{2\pi} \int_R^{R_1} \frac{1}{r} dr = \frac{\mu_0 a I}{2\pi} \ln \frac{R_1}{R}$$

其中 $R_1 = [C^2 + (b + \sqrt{R^2 - C^2})^2]^{1/2} = [R^2 + b^2 + 2b\sqrt{R^2 - C^2}]^{1/2}$

故直导线与矩形回路间的互感为

$$M = \frac{\Psi}{I} = \frac{\mu_0 a}{2\pi} \ln \frac{R_1}{R} = \frac{\mu_0 a}{2\pi} \ln \frac{[R^2 + b^2 + 2b\sqrt{R^2 - C^2}]^{1/2}}{R} = -\frac{\mu_0 a}{2\pi} \ln \frac{R}{[2b(R^2 - C^2)^{1/2} + b^2 + R^2]^{1/2}}$$



题 5.16 图

5.16 如题 5.16 图所示的长螺旋管，单位长度密绕 n 匝线圈，通过电流 I ，铁心的磁导率为 μ 、截面积为 S ，求作用在它上面的磁场力。

解 由安培环路定理可得螺旋管内的磁场为 $H = nI$

设铁心在磁场力的作用下有一位移 dx ，则螺旋管内改变的磁场能量为

$$dW_m = \frac{\mu}{2} H^2 S dx - \frac{\mu_0}{2} H^2 S dx = \frac{1}{2} (\mu - \mu_0) n^2 I^2 S dx$$

则作用在铁心上的磁场力为 $F_x = \frac{dW_m}{dx} \Big|_{I=c} = \frac{1}{2} (\mu - \mu_0) n^2 I^2 S$

磁力有将铁心拉进螺旋管的趋势。